

2-(1-아미노아세칠옥시알킬)-1,4-디하이드록시-9,10-안트라퀴논 유도체의 합성 및 세포독성 평가

신동진 · 유영제 · 안병준[#]

충남대학교 약학대학

(Received January 5, 2001; Revised April 4, 2001)

2-(1-Aminoacetyloxyalkyl)-1,4-Dihydroxy-9,10-Anthraquinone Derivatives: Synthesis and Cytotoxic Activity

Dong-Jin Shin, Young-Jae You and Byung-Zun Ahn[#]

College of Pharmacy, Chungnam National University, Taejon 305-764, Korea

Abstract — To improve water solubility of 1,4-dihydroxy-9,10-anthraquinone moiety, 23 of 2-(1-aminoacetylalkyl)-1,4-dihydroxy-9,10-anthraquinone derivatives, which contain nitrogen atom, were synthesized. Of the synthesized compounds, 18 compounds were more cytotoxic on L1210 cells than 2-(1-acetoxyalkyl)-1,4-dihydroxy-9,10-anthraquinone as comparative structure. This result might be due to the increased hydrophilicity of the compounds.

Keywords □ 1,4-Dihydroxy-9,10-anthraquinone, cytotoxicity, hydrophilicity

천연에서 분리된 9,10-anthrquinone 유도체인 alizarin, emodin, chrysophanol 등은 여러 종류의 암세포에 대해 세포독성이 있는 것으로 보고 되었으며,^{1~4)} 특히 1,4-dihydroxy-9,10-anthraquinone(DHAQ)을 모핵으로 하는 anthracyclines와 mitoxanthrone은 현재 임상에서 항암제로 이용되고 있는 약물이다. 이러한 DHAQ를 모핵으로 하는 물질들은 DNA intercalation, DNA-topoisomerase II 저해작용,^{5,6)} redox cycle에 의해 생성된 free radical에 의한 DNA 절단,^{7,8)} bioreductive activation에 의한 alkylation⁹⁾ 등이 세포독성의 주 작용기전으로 알려져 있다. 한편 김 등¹⁰⁾은 2-(1-acetoxyalkyl)-1,4-dihydroxy-9,10-anthraquinone 유도체들의 L1210 세포에 대한 세포독성(ED_{50} , 1.42~34 $\mu\text{g}/\text{mL}$)과 S-180 세포에 대한 항암활성(T/C, 108~146 %)을 보고하였으며, 이들의 수용성을 증가 시키면 활성이 더 증가 할 것이라고 제안하였다. 따라서 본 실

험자들은 2-(1-acetoxyalkyl)-1,4-dihydroxy-9,10-anthraquinone에 질소원자를 포함하는 유도체를 합성하여 수용성을 증가시킨 후, 이들의 구조와 세포독성 간의 관계를 관찰하였다.

실험방법

각종 시약은 주로 알드리치사에서 구입하였고, 용매는 특급 또는 필요에 따라 정제하여 사용하였다. 마우스 백혈병 세포주인 L1210세포는 화학연구소에서 분양 받았으며, 세포배양 시 사용되는 RPMI1640, fetal bovine serum 및 다른 시약은 Gibco사로부터 구입하였다. IR 스펙트라는 Perkin-Elmer 780 분광광도계로 측정하였으며 cm^{-1} 로 표시하였다. 핵자기공명 스펙트라는 JEOL(90 MHz)분광광도계를 이용하여 tetramethylsilane(TMS)을 내부표준물질로 하여 측정하였으며, 화학적 이동(chemical shift)은 δ 단위로 coupling constant는 Hz로 나타내었다. TLC에서는 silica gel plate(Merk, 60F₂₅₄)을 사용하였고, column chroma-

[#] 본 논문에 관한 문의는 이 저자에게로
(전화) 042-821-5923 (팩스) 042-823-6566

tography는 silica gel(Merk, 70~230 mesh)를 사용하였다.

2-[1-(*N,N*-Dimethylacetoxyl)alkyl]-1,4-dihydroxy-9,10-anthraquinones (IIa~e)의 합성

2-[*(N,N*-Dimethylaminoacetoxy)methyl]-1,4-dihydroxy-9,10-anthraquinone (IIa)의 합성 – 2-(1-Hydroxymethyl)-DHAQ(Ia, 0.2 g, 0.74 mmol)과 DCC(dicyclohexylcarbodiimide, 0.18 g, 0.89 mmol), DMAP(4-dimethylaminopyridine, 0.03 g, 0.22 mmol)을 methylene chloride(MC) 50 mL에 녹이고 질소 가스 하에서 *N,N*-dimethylglycine(0.9 g, 0.89 mmol)을 가하고, 3시간동안 교반하였다. 반응 후 hexane 50 mL를 가하고 10분간 교반하고 방치한 다음 여과하였다. 여액은 무수 망초로 털수한 후 감압농축하였다. 이때 얻은 조생성물을 silica gel 칼럼 크로마토그래피(MC: MeOH, 90:1)하여 적색의 고체 0.2 g(76%)을 얻었다: mp 132.5~134.6°C; IR(KBr) 3442, 2920, 1750, 1686, 1620, 1578 cm⁻¹; ¹H-NMR(CDCl₃) 13.24(1H, s), 12.86(1H, s), 8.41~8.31(2H, m), 7.90~7.79(2H, m), 7.35(1H, s), 5.35(1H, q), 3.33(2H, s), 2.41(6H, s).

2-[1-(*N,N*-Dimethylacetoxyl)ethyl]-1,4-dihydroxy-9,10-anthraquinone (IIb)의 합성 – 2-(1-Hydroxyethyl)-DHAQ(Ib, 0.2 g, 0.70 mmol)를 사용하여 IIa와 동일한 방법으로 합성하여 적색의 고체 0.21 g(81%)을 얻었다: mp 78.8~80.1°C; IR(KBr) 3440, 2920, 1746, 1686, 1620, 1580; ¹H-NMR(CDCl₃) 13.32(1H, s), 12.89(1H, s), 8.40~8.30(2H, m), 7.89~7.79(2H, m), 7.37(1H, s), 6.33(1H, q), 3.29(2H, s), 2.39(6H, s), 1.95(3H, d).

2-[1-(*N,N*-Dimethylacetoxyl)propyl]-1,4-dihydroxy-9,10-anthraquinone (IIc)의 합성 – 2-(1-Hydroxypropyl)-DHAQ(Ic, 0.2 g, 0.67 mmol)를 사용하여 IIa와 동일한 방법으로 합성하여 적색의 고체 0.22 g(85%)을 얻었다: mp 106.0~108.9°C; IR(KBr) 3450, 2910, 1746, 1700, 1620, 1580 cm⁻¹; ¹H-NMR(CDCl₃) 13.34(1H, s), 12.89(1H, s), 8.41~8.31(2H, m), 7.89~7.79(2H, m), 7.32(1H, s), 6.21(1H, t), 3.30(2H, s), 2.39(6H, s), 2.04~1.81(2H, m), 0.99(3H, t).

2-[1-(*N,N*-Dimethylacetoxyl)butyl]-1,4-dihydroxy-9,10-anthraquinone (IId)의 합성 – 2-(1-Hydroxybutyl)-DHAQ(Id, 0.2 g, 0.64 mmol)를 사용하여

IIa와 동일한 방법으로 합성하여 적색의 고체 0.19 g(76%)을 얻었다: mp 79.8~80.9°C; IR(KBr) 3440, 2920, 1744, 1684, 1622, 1580 cm⁻¹; ¹H-NMR(CDCl₃) 13.34(1H, s), 12.89(1H, s), 8.40~8.30(2H, m), 7.89~7.80(2H, m), 7.31(1H, s), 6.27(1H, t), 3.30(2H, s), 2.38(6H, s), 2.01~1.26(4H, m), 0.96(3H, t).

2-[1-(*N,N*-Dimethylacetoxyl)pentyl]-1,4-dihydroxy-9,10-anthraquinone (IIe)의 합성 – 2-(1-Hydroxypentyl)-DHAQ(Ie, 0.2 g, 0.61 mmol)를 사용하여 IIa와 동일한 방법으로 합성하여 적색의 고체 0.19 g(77%)을 얻었다: mp 60.1~61.3°C; IR(KBr) 3420, 2920, 1744, 1684, 1620, 1579 cm⁻¹; ¹H-NMR(CDCl₃) 13.32(1H, s), 12.87(1H, s), 8.40~8.29(2H, m), 7.88~7.77(2H, m), 7.35(1H, s), 6.25(1H, q), 3.30(2H, s), 2.39(6H, s), 2.04~1.35(6H, m), 0.90(3H, t).

2-[1-(*N,N,N*-Trimethylacetoxyl)alkyl]-1,4-dihydroxy-9,10-anthraquinonium iodides(IIIa~e)의 합성

2-[*(N,N,N*-Trimethylacetoxyl)methyl]-1,4-dihydroxy-9,10-anthraquinonium iodide(IIIa)의 합성 – 2-[*(N,N*-Dimethylacetoxyl)methyl]-DHAQ(IIa, 0.1 g, 0.3 mmol)를 MC에 녹이고 iodomethane(0.085 g, 0.6 mmol)을 넣어 1시간동안 교반한다. 적색으로 혼탁이 되는 것을 확인한 후에 hexane을 냇고 10분간 더 교반 후 여과하여 적색의 고체 0.1 g(74%)을 얻었다: mp 188.9~190.6°C; IR(KBr) 3440, 2960, 1740, 1618, 1580 cm⁻¹; ¹H-NMR(DMSO-d₆) 13.10(1H, s), 12.65(1H, s), 8.35~8.25(2H, m), 8.06~7.96(2H, m), 7.55(1H, s), 5.40(1H, q), 4.62(2H, s), 3.31(9H, s).

2-[1-(*N,N,N*-Trimethylacetoxyl)ethyl]-1,4-dihydroxy-9,10-anthraquinonium iodide (IIIb)의 합성 – 2-[1-(*N,N*-Dimethylacetoxyl)ethyl]-DHAQ(IIb, 0.1 g, 0.3 mmol)을 사용하여 IIIa와 동일한 방법으로 합성하여 적색의 고체 0.1 g(73%)을 얻었다: mp 149.1~152.0°C. IR(KBr) 3440, 2960, 1740, 1618, 1580 cm⁻¹; ¹H-NMR(DMSO-d₆) 13.22(1H, s), 12.68(1H, s), 8.29~8.19(2H, m), 8.06~7.95(2H, m), 7.50(1H, s), 6.25(1H, q), 4.62(2H, s), 3.31(9H, s), 1.55(3H, d).

2-[1-(*N,N,N*-Trimethylacetoxyl)propyl]-1,4-dihydroxy-9,10-anthraquinonium iodide (IIIc)의 합성 – 2-[1-(*N,N*-dimethylacetoxyl)propyl]-DHAQ(IIc, 0.25

g, 0.65 mmol)을 사용하여 IIIa와 동일한 방법으로 합성하여 적색의 고체 0.27 g(79%)을 얻었다: mp 189.7-192.4°C; IR(KBr) 3430, 2950, 1740, 1620, 1579 cm⁻¹; ¹H-NMR(DMSO-d₆) 13.21(1H, s), 12.65(1H, s), 8.34-8.22(2H, m), 8.04-7.94(2H, m), 7.45(1H, s), 6.13(1H, t), 4.71(2H, s), 3.34(9H, s), 2.10-1.85(2H, m), 0.96(1H, t).

2-[1-(N,N,N-Trimethylacetoxyl)butyl]-1,4-dihydroxy-9,10-antraquinonium iodide (IIId)의 합성 – 2-[1-(N,N-dimethylacetoxyl)butyl]-DHAQ(IIId, 0.1 g, 0.25 mmol)을 사용하여 IIIa와 동일한 방법으로 합성하여 적색의 고체 0.1 g(75%)을 얻었다: mp 187.2-189.8°C; IR(KBr) 3440, 2950, 1740, 1618, 1579 cm⁻¹; ¹H-NMR(DMSO-d₆) 13.23(1H, s), 12.68(1H, s), 8.34-8.24(2H, m), 8.10-7.95(2H, m), 7.46(s, 1H), 6.19(1H, t), 4.68(2H, s), 3.34(9H, s), 1.95a.79(2H, m), 1.43-1.27(2H, m), 0.93(1H, t).

2-[1-(N,N,N-Trimethylacetoxyl)pentyl]-1,4-dihydroxy-9,10-antraquinonium iodide (IIIe)의 합성 – 2-[1-(N,N-dimethylacetoxyl)pentyl]-DHAQ(IIe, 0.1 g, 0.24 mmol)를 IIIa와 동일한 방법으로 합성하여 적색의 고체 0.09 g(69%)을 얻었다: mp 190.6-193.4°C; IR(KBr) 3420, 2940, 1742, 1618, 1579 cm⁻¹; ¹H-NMR(DMSO-d₆) 13.23(1H, s), 12.67(1H, s), 8.35-8.24(2H, m), 8.06-7.95(2H, m), 7.46(1H, s), 6.18(1H, t), 4.69(2H, s), 3.36(9H, s), 2.04-1.35(6H, m), 0.89(1H, t).

2-Chloroacetoxyalkyl-1,4-dihydroxy-9,10-antraquinones (IVa~e)의 합성

2-[1-(Chloroacetoxy)methyl]-1,4-dihydroxy-9,10-antraquinone (IVa)의 합성 – 2-(1-Hydroxymethyl)-DHAQ(Ia, 0.4 g, 1.5 mmol)를 100 mL 2구 환저 플라스크에 넣고 MC(50 mL)를 가하여 녹이고 DCC(0.37 g, 1.8 mmol)와 DMAP(0.05 g, 0.45 mmol)를 가한다. 질소가스하의 냉육상에서 냉각하에 chloroacetic acid(0.17 g, 1.8 mmol)를 가하고 10시간 동안 교반하고 hexane 50 mL를 가하고 30분 더 교반하다. 흰색의 고체를 여과하고 여액을 무수 망초로 탈수하고 감압 농축하였다. 여기서 생긴 적색의 고체를 칼럼 크로마토그라피(hexane : MC : MeOH, 50 : 50 : 3)로 정제하여 순수한 적색의 고체 0.45 g(87%)을 얻었다: mp 146.6-148.8°C; IR(KBr) 3300, 2910, 1760, 1618, 1578 cm⁻¹; ¹H-NMR(CDCl₃) 13.23(1H, s), 12.84(1H,

s), 8.41-8.31(2H, m), 7.90-7.80(2H, m), 7.38(1H, s), 5.40(1H, s), 4.20(2H, s).

2-[1-(Chloroacetoxy)ethyl]-1,4-dihydroxy-9,10-antraquinone (IVb)의 합성 – 2-(1-Hydroxyethyl)-DHAQ(Ib, 0.4 g, 1.1 mmol)를 IVa와 동일한 방법으로 적색의 고체 0.43 g(85%)을 얻었다: mp 163.2-165.7°C; IR(KBr) 3304, 2910, 1758, 1620, 1578 cm⁻¹; ¹H-NMR(CDCl₃) 13.32(1H, s), 12.87(1H, s), 8.41-8.31(2H, m), 7.90-7.80(2H, m), 7.39(1H, s), 6.45(1H, q), 4.12(2H, s), 1.63(3H, d).

2-[1-(Chloroacetoxy)propyl]-1,4-dihydroxy-9,10-antraquinone (IVc)의 합성 – 2-(1-Hydroxypropyl)-DHAQ(Ic, 0.5 g, 1.3 mmol)를 IVa와 동일한 방법으로 적색의 고체 0.56 g(88%)을 얻었다: mp 140.7-143.4°C; IR(KBr) 3302, 2912, 1760, 1618, 1580 cm⁻¹; ¹H-NMR(CDCl₃) 13.33(1H, s), 12.86(1H, s), 8.40-8.30(2H, m), 7.89-7.79(2H, m), 7.33(1H, s), 6.23(1H, t), 4.16(2H, s), 2.06-1.90(2H, m), 1.00(3H, t).

2-[1-(Chloroacetoxy)butyl]-1,4-dihydroxy-9,10-antraquinone (IVd)의 합성 – 2-(1-Hydroxybutyl)-DHAQ(Id, 0.45 g, 1.2 mmol)를 IVa와 동일한 방법으로 적색의 고체 0.50 g(92%)을 얻었다: mp 97.0-99.5°C; IR(KBr) 3436, 2940, 1742, 1618, 1579 cm⁻¹; ¹H-NMR(CDCl₃) 13.33(1H, s), 12.86(1H, s), 8.40-8.30(2H, m), 7.89-7.79(2H, m), 7.33(1H, s), 6.29(1H, t), 4.15(2H, s), 1.97-1.87(2H, m), 1.49-1.40(2H, m), 0.97(3H, t).

2-[1-(Chloroacetoxy)pentyl]-1,4-dihydroxy-9,10-antraquinone (IVe)의 합성 – 2-(1-Hydroxypentyl)-DHAQ(Ie, 0.4 g, 1.0 mmol)를 IVa와 동일한 방법으로 적색의 고체 0.44 g(91%)을 얻었다: mp 107.8-109.4°C; IR(KBr) 3420, 2940, 1742, 1618, 1578 cm⁻¹; ¹H-NMR(CDCl₃) 13.34(1H, s), 12.87(1H, s), 8.41-8.31(2H, m), 7.89-7.79(2H, m), 7.33(1H, s), 6.27(1H, t), 4.15(2H, s), 1.97-1.82(2H, m), 1.56-1.20(4H, m), 0.91(3H, t).

2-[1-(N-Pyrrolidinoacetoxyl)alkyl]-1,4-dihydroxy-9,10-antraquinones (Vb~d)의 합성

2-[1-(N-Pyrrolidinoacetoxyl)ethyl]-1,4-dihydroxy-9,10-antraquinone (Vb)의 합성 – 2-[1-(Chloroacetoxy)ethyl]-DHAQ(IVb, 70 mg, 0.19 mmol)를 THF

(tetrahydrofuran) 50 ml에 녹여 100 ml 2구 환저 플라스크에 넣고 pyrrolidine(17 mg, 0.23 mmol)을 가하고 10시간동안 환류하였다. 반응 혼합액을 감압 중류하여 THF를 제거하고 칼람 크로마토그래피(AcOH : MC : hexane : MeOH, 10 : 45 : 40 : 5)로 정제하여 순수한 적색의 유상물질 33 mg(43%)을 얻었다: IR(KBr) 3420, 2940, 1742, 1618, 1579 cm⁻¹; ¹H-NMR(CDCl₃) 13.03(b, 2H), 8.41-8.30(2H, m), 7.88-7.78(2H, m), 7.36(1H, s), 6.59(1H, q), 3.48(2H, s), 2.68(4H, t), 2.17-1.63(4H, m), 1.59(3H, d).

2-[1-(*N*-Pyrrolidinoacetoxy)propyl]-1,4-dihydroxy-9,10-anthraquinone (Vc)의 합성 – 2-[1-(Chloroacetoxy)propyl]-DHAQ(IVc, 70 mg, 0.19 mmol)를 사용하여 Vb와 동일한 방법으로 합성하여 적색의 유상물질 48 mg(63%)을 얻었다: IR(KBr) 3420, 2940, 1742, 1618, 1579 cm⁻¹; ¹H-NMR(CDCl₃) 13.03(b, 2H), 8.41-8.30(2H, m), 7.88-7.78(2H, m), 7.31(1H, s), 6.20(1H, t), 3.47(2H, s), 2.68(4H, t), 2.17-1.63(6H, m), 0.90(3H, t).

2-[1-(*N*-Pyrrolidinoacetoxy)butyl]-1,4-dihydroxy-9,10-anthraquinone (Vd)의 합성 – 2-[1-(Chloroacetoxy)butyl]-DHAQ(IVd, 70 mg, 0.18 mmol)를 사용하여 Vb와 동일한 방법으로 합성하여 적색의 유상물질 45 mg(59%)을 얻었다: IR(KBr) 3420, 2940, 1742, 1618, 1579 cm⁻¹; ¹H-NMR(CDCl₃) 13.03(b, 2H), 8.41-8.30(2H, m), 7.88-7.78(2H, m), 7.31(1H, s), 6.20(1H, t), 3.47(2H, s), 2.68(4H, t), 2.17-1.63(8H, m), 0.96(3H, t).

2-[1-(*N*-Piperidinoacetoxy)alkyl]-1,4-dihydroxy-9,10-anthraquinones (VIa~e)의 합성

2-(*N*-Piperidinoacetoxymethyl)-1,4-dihydroxy-9,10-anthraquinone (VIa)의 합성 – 2-[1-(Chloroacetoxy)methyl]-DHAQ(IVa, 70 mg, 0.20 mmol)를 100 ml 환저 플라스크에 넣고 THF 60 ml에 녹이고 piperidine(20 mg, 0.24 mmol)을 가하고 10시간 동안 환류시킨다. 반응액을 감압농축한 후 칼람 크로마토그래피(EA : MC, 8 : 1)로 정제하여 순수한 적색의 고체 44 mg(55%)을 얻었다: mp 126.4-128.8°C; IR(KBr) 3420, 2940, 1742, 1618, 1579 cm⁻¹; ¹H-NMR(CDCl₃) 13.08(1H, s), 12.64(1H, s), 8.40-8.30(2H, m), 7.89-7.79(2H, m), 7.41(1H, s), 5.25(2H, s), 3.31(2H,

s), 2.03-1.53(6H, m).

2-[1-(*N*-Piperidinoacetoxy)ethyl]-1,4-dihydroxy-9,10-anthraquinone (VIb)의 합성 – 2-[1-(Chloroacetoxy)ethyl]-DHAQ(IVb, 70 mg, 0.19 mmol)를 사용하여 VIa와 동일한 방법으로 합성하여 적색의 고체 53 mg(67%)을 얻었다: mp 121.6-123.9°C; IR(KBr) 3420, 2940, 1742, 1618, 1579; ¹H-NMR(CDCl₃) 13.34(1H, s), 12.88(1H, s), 8.40-8.30(2H, m), 7.89-7.79(2H, m), 7.37(1H, s), 6.28(1H, q), 3.37(2H, s), 2.65(4H, t), 2.03-1.53(6H, m), 1.59(3H, d).

2-[1-(*N*-Piperidinoacetoxy)propyl]-1,4-dihydroxy-9,10-anthraquinone (VIc)의 합성 – 2-[1-(Chloroacetoxy)propyl]-DHAQ(IVc, 70 mg, 0.19 mmol)를 사용하여 VIa와 동일한 방법으로 합성하여 적색의 유상물질 50 mg(63%)을 얻었다: mp 99.7-102.4°C; IR(KBr) 3420, 2940, 1742, 1618, 1579 cm⁻¹; ¹H-NMR(CDCl₃) 13.34(1H, s), 12.88(1H, s), 8.40-8.30(2H, m), 7.89-7.79(2H, m), 7.37(1H, s), 6.19(1H, t), 3.31(2H, s), 2.55(4H, t), 2.03-1.53(8H, m), 0.98(3H, t).

2-[1-(*N*-Piperidinoacetoxy)butyl]-1,4-dihydroxy-9,10-anthraquinone (VID)의 합성 – 2-[1-(Chloroacetoxy)butyl]-DHAQ(IVd, 70 mg, 0.18 mmol)를 사용하여 VIa와 동일한 방법으로 합성하여 적색의 고체 46 mg(58%)을 얻었다: mp 76.9-79.8°C; IR(KBr) 3420, 2940, 1742, 1618, 1579 cm⁻¹; ¹H-NMR(CDCl₃) 13.33(1H, s), 12.90(1H, s), 8.40-8.30(2H, m), 7.89-7.79(2H, m), 7.31(1H, s), 6.25(1H, t), 3.33(2H, s), 2.59(4H, t), 2.03-1.53(10H, m), 0.96(3H, t).

2-[1-(*N*-Piperidinoacetoxy)pentyl]-1,4-dihydroxy-9,10-anthraquinone (VIe)의 합성 – 2-[1-(Chloroacetoxy)pentyl]-DHAQ(IVe, 70 mg, 0.17 mmol)를 사용하여 VIa와 동일한 방법으로 합성하여 적색의 유상물질 48 mg(61%)을 얻었다: IR(KBr) 3420, 2940, 1742, 1618, 1579 cm⁻¹; ¹H-NMR(CDCl₃) 13.30(1H, s), 12.87(1H, s), 8.40-8.30(2H, m), 7.89-7.79(2H, m), 7.37(1H, s), 6.18(1H, t), 3.31(2H, s), 2.56(4H, t), 2.03-1.53(12H, m), 0.98(3H, t).

2-[1-(*N*Morpholinoacetoxy)alkyl]-1,4-dihydroxy-9,10-anthraquinones (VIIa~e)의 합성

2-(*N*Morpholinoacetoxymethyl)-1,4-dihydroxy-9,10-anthraquinone (VIIa)의 합성 – 2-[1-(Chloro-

acetoxy)methyl]-DHAQ(**IVa**, 70 mg, 0.20 mmol)를 100 mL 환저 플라스크에 넣고 THF 60 mL에 녹이고 morpholine(21 mg, 0.24 mmol)을 가하고 10시간 동안 환류시킨다. 반응액을 감압농축하여 칼럼 크로마토 그래피(EA : MC, 8 : 1)로 정제하여 적색의 고체 53 mg(66%)을 얻었다: mp 147.9-150.3°C; IR(KBr) 2940, 1742, 1618, 1579 cm⁻¹; ¹H-NMR(CDCl₃) 13.06(1H, s), 12.64(1H, s), 8.35-8.24(2H, m), 8.06-7.95(2H, m), 7.41(1H, s), 5.23(2H, s), 3.75(4H, t), 2.60(4H, t).

2-[1-(N-Morpholinoacetoxy)ethyl]-1,4-dihydroxy-9,10-anthraquinone (VIIb**)의 합성** – 2-[1-(Chloroacetoxy)ethyl]-DHAQ(**IVb**, 70 mg, 0.19 mmol)를 사용하여 **VIIa**와 동일한 방법으로 합성하여 적색의 고체 57 mg(71%)을 얻었다: mp 165.0-167.9°C; IR(KBr) 3420, 2940, 1742, 1618, 1579 cm⁻¹; ¹H-NMR(CDCl₃) 13.34(1H, s), 12.88(1H, s), 8.40-8.30(2H, m), 7.89-7.79(2H, m), 7.36(1H, s), 6.31(1H, q), 3.75(4H, t), 3.32(2H, s), 2.61(4H, t), 1.59(3H, d).

2-[1-(N-Morpholinoacetoxy)propyl]-1,4-dihydroxy-9,10-anthraquinone (VIIc**)의 합성** – 2-[1-(Chloroacetoxy)propyl]-DHAQ(**IVc**, 70 mg, 0.19 mmol)를 사용하여 **VIIa**와 동일한 방법으로 합성하여 적색의 고체 59 mg(74%)을 얻었다: mp 143.3-147.4°C; IR(KBr) 3420, 2940, 1742, 1618, 1579 cm⁻¹; ¹H-NMR(CDCl₃) 13.34(1H, s), 12.88(1H, s), 8.35-8.24(2H, m), 8.06-7.95(2H, m), 7.31(1H, s), 6.19(1H, t), 3.75(4H, t), 3.33(2H, s), 2.61(4H, t), 2.04-1.86(2H, m), 0.98(3H, t).

2-[1-(N-Morpholinoacetoxy)butyl]-1,4-dihydroxy-9,10-anthraquinone (VIId**)의 합성** – 2-[1-(Chloroacetoxy)butyl]-DHAQ(**IVd**, 70 mg, 0.18 mmol)를 사

용하여 **VIIa**와 동일한 방법으로 합성하여 적색의 고체 49 mg(62%)을 얻었다: mp 150.3-152.7°C; IR(KBr) 3420, 2940, 1742, 1618, 1579 cm⁻¹; ¹H-NMR(CDCl₃) 13.34(1H, s), 12.88(1H, s), 8.35-8.24(2H, m), 8.06-7.95(2H, m), 7.31(1H, s), 6.25(1H, t), 3.75(4H, t), 3.32(2H, s), 2.61(4H, t), 1.93-1.39(4H, m), 0.96(3H, t).

2-[1-(N-Morpholinoacetoxy)pentyl]-1,4-dihydroxy-9,10-anthraquinone (VIIe**)의 합성** – 2-[1-(Chloroacetoxy)pentyl]-DHAQ(**IVe**, 70 mg, 0.17 mmol)를 사용하여 **VIIa**와 동일한 방법으로 합성하여 적색의 고체 50 mg(64%)을 얻었다: mp 124.4-126.8°C; IR(KBr) 3420, 2940, 1742, 1618, 1579 cm⁻¹; ¹H-NMR(CDCl₃) 13.34(1H, s), 12.88(1H, s), 8.35-8.24(2H, m), 8.06-7.95(2H, m), 7.31(1H, s), 6.24(1H, t), 3.75(4H, t), 3.32(2H, s), 2.61(4H, t), 1.98-1.26(6H, m), 0.96(3H, t).

In vitro 세포독성 검색 – 마우스 백혈병 세포주인 L1210 세포는 10% fetal bovine serum이 함유된 RPMI1640 배지를 사용하여 37°C, 5% CO₂ 배양기에 서 배양하여 실험에 사용하였다. 실험방법은 Thayer의 방법에 따랐다.¹¹⁾ 세포수는 haemacytometer를 사용하여 세었으며, ED₅₀값은 음성대조군에 대한 성장 저해율이 50%되는 약물의 농도로 정하였다.

실험결과 및 고찰

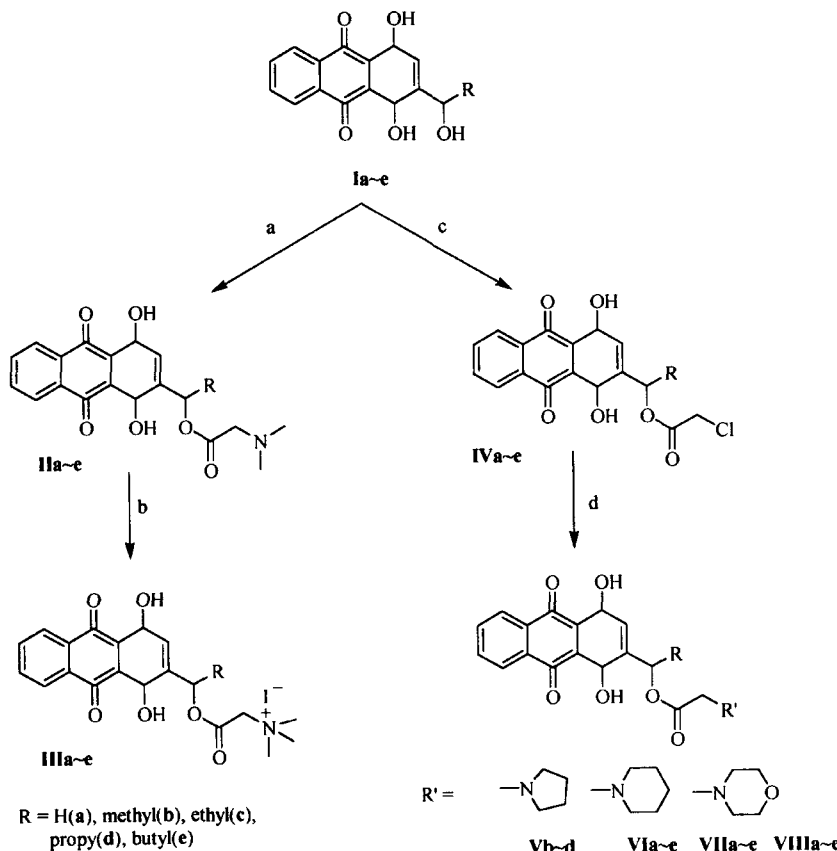
합성

2-(1-Hydroxyalkyl)-1,4-dihydroxy-9,10-anthraquinone 유도체는 김 등의 방법¹⁰⁾으로 합성하였다. **IIa~e**는 dicyclohexylcarbodiimide(DCC) 및 4-dimethyl-

Table I – Cytotoxicity of 2-(1-acetoxyalkyl)-DHAQ and their derivatives containing N atom

R	R'						
		II N(CH ₃) ₂	III N ⁺ (CH ₃) ⁻	V pyrr	VI pipe	VII Morp	VIII H
a	H	0.96*	6.68	NS	1.78	0.77	2.75
b	methyl	0.83	15.82	2.87	1.11	0.78	1.42
c	ethyl	0.56	11.41	0.65	0.95	1.12	6.51
d	propyl	0.70	15.72	2.84	1.31	0.93	11.0
e	butyl	0.67	12.25	NS	0.66	0.72	34.0

*ED₅₀: μg/mL, NS: not synthesized, pyrr: pyrrolidine, pipe: piperidine, morp: morpholine



Scheme 1 – Synthetic pathway of 2-substituted-1,4-dihydroxy-9,10-anthraquinone derivatives. a) NN-dimethylglycine, DCC, DMP, b) iodomethane, c) chloroacetic acid, DCC, DMAP, d) secondary amine

laminopyridine(DMAP) 존재하에 **Ia~e**와 *N,N*-dimethylglycine을 반응시켜 합성하였다. 수율은 76~85%였다. 합성한 **IIa~e**에 iodomethane을 반응시켜 4가 암모늄염인 **IIIa~e**를 69~79%의 수율로 얻었다. 한편 DCC 및 DMAP의 존재하에 **Ia~e**와 chloroacetic acid를 반응시켜 에스테르인 **IVa~e**를 얻은 후 pyrrolidine, piperidine, morpholine을 치환반응시켜 화합물 **Va~e**, **VIa~e**, **VIIa~e**, **VIIIa~e**를 43~71%의 수율로 합성하였다. 염소화합물 **IVa~e** 중 R=H인 **IVa**와 R=butyl인 **IVe**는 여러 조건에서도 pyrrolidine과 반응하지 않아 **Va**와 **Ve**는 합성할 수 없었다.

세포독성

Table I에는 합성한 물질들과 세포독성이 전체적으로 표시 되어있다. 전반적으로 보아 4가 암모늄염인 **IIIa~e**를 제외한 다른 물질들의 세포독성은 비교 물

질인 2-[1-(acetoxyl)alkyl]-1,4-dihydroxy-9,10-anthraquinone 유도체들 보다 2~50배 더 강하였다. 이는 합성한 물질들이 전반적으로 수용성이 증가되었기 때문인 것으로 판단된다.

우선 화합물들 간의 세포독성을 비교해 보면, 측쇄의 amino기 중 dimethylamino기의 도입이 세포독성을 가장 강하게 증가시켰다. 그러나 이의 헤테로고리에 해당하는 pyrrolidine 또는 이를 더욱 확장한 piperidine을 도입한 화합물(**Va~e**, **VIa~e**)은 낮은 세포독성을 보였다. 그러나 morpholine을 도입한 화합물 **VIIa~e**은 중등 정도의 세포독성을 보였다. Dimethylamino기를 trimethylammonium기로 바꾸면, 세포독성은 7~22배로 대폭 감소하였는데, 이는 극성이 높은 4가 암모늄염의 세포막 통과가 어려워지기 때문인 것으로 추측된다.

다음은 각 화합물의 알킬기의 크기와 세포독성과의

관계를 보았다. 비교 물질인 2-[1-(acetoxyl)alkyl]-1,4-dihydroxy-9,10-anthraquinone 유도체들에 있어서는 알킬기의 길이가 증가 할수록 세포독성이 감소하는데 비하여¹⁰⁾ 측쇄에 amino기를 도입한 화합물들에 있어서는 그와 같은 알킬기에 대한 의존성을 볼 수가 없었다. 이들 물질군에서 알킬기가 butyl기인 경우가 다른 알킬기를 가진 화합물들보다 강한 세포독성을 나타내었다.

이상의 결과로부터 1,4-dihydroxy-9,10-anthraquinone의 측쇄에 수용성 증가의 목적으로 여러 가지 아미노기를 도입한 결과 전반적으로는 세포독성을 증가시킴을 발견하였다.

감사의 말씀

본 연구는 한국과학재단(KOSEF)의 연구비 지원으로 수행되었으며 이에 감사 드립니다

문 헌

- 1) Andreani, A., Rambaldi, M., Bonazzi, D., Lelli, G., Greci, L., Bossa, R. and Galatulas, I. : Potential antitumor agents, XIV 1, 8-Disubstituted anthraquinones. *Arch. Pharm. Res.* **318**, 400 (1985).
- 2) Itokawa, H., Ibraheim, Z. Z. and Qiao, Y. F. : Anthraquinones, naphthohydroquinones and naphthohydroquinone dimers from Rubia cordifolia and their cytotoxic activity. *Chem. Pharm. Bull.* **41**, 1869 (1993).
- 3) Hideji, I. and Yafang, Q. : Anthraquinones and naphthohydroquinones from Rubia cordifolia. *Phytochemistry* **28**, 3465 (1989).
- 4) Koyama, M., Takahashi, K., Chou, T. C., Darzynkiewicz, Z., Kapuscinski, J., Kelly, T. R. and Watanabe, K. A. : Intercalating agents with covalent bond forming capability. A novel type of potential anticancer

agents. 2. Derivatives of chrysophanol and emodin. *J. Med. Chem.* **32**, 1594 (1989).

- 5) Islam, S. A., Neidle, S., Gandecha, B. M., Partridge, M., Patterson, L. H. and Brown, J. R. : Comparative computer graphics and solution studies of the DNA interaction of substituted anthraquinones based on Doxorubicin and Mitoxantrone. *J. Med. Chem.* **28**, 857 (1985).
- 6) Kong, X. B., Rubin, L., Chen, L. I., Ciszewska, G., Watanabe, K. A., Tong, W. P., Sirotnak, F. M. and Chou, T. C. : Topoisomerase II-mediated DNA cleavage activity and irreversibility of cleavable complex formation induced by DNA intercalator with alkylation capability. *Mol Pharmacol.* **41**, 237 (1992).
- 7) Fisher, G. R., Brown, J. R. and Patterson, L. H. : Involvement of hydroxyl radical formation and DNA strand breakage in the cytotoxicity of anthraquinone antitumor agents. *Free Radical Res. Commun.* **11**, 117 (1990).
- 8) Dodd, N. J. and Mukherjee, T. : Free radical formation from anthracycline antitumor agents and model systems-I. Model naphthoquinones and anthraquinones. *Biochem. Pharmacol.* **33**, 397 (1984).
- 9) Patterson, L. H. : Rational for the use of aliphatic N-oxides of cytotoxic anthraquinones as prodrug DNA binding agents: a new class of bioreductive agent. *Cancer Metastasis. Rev.* **12**, 5135 (1993).
- 10) Jin, G. Z., Song, G. Y., Zheng, X. G., Kim, Y., Sok, D. E. and Ahn, B. Z. : 2-(1-Oxyalkyl)-1,4-dioxy-9,10-anthraquinones: synthesis and evaluation of antitumor activity. *Arch. Pharm. Res.* **21**, 198 (1998).
- 11) Thayer, P. S., Himmelfarb, P. and Watt, G. L. : Cytotoxicity assays with L1210 cells in vitro: comparison with L1210 in vivo and KB cells in vitro. *Cancer Chemother. Rep.* **2**, 1 (1971).